

- (b) $\int_{\mathbf{c}} x \, dx + y \, dy$, $\mathbf{c}(t) = (\cos \pi t, \sin \pi t)$, $0 \leq t \leq 2$
- (c) $\int_{\mathbf{c}} yz \, dx + xz \, dy + xy \, dz$, donde \mathbf{c} consta de los segmentos de línea recta que unen $(1, 0, 0)$ a $(0, 1, 0)$ y a $(0, 0, 1)$
- (d) $\int_{\mathbf{c}} x^2 \, dx - xy \, dy + dz$, donde \mathbf{c} es la parábola $z = x^2, y = 0$ desde $(-1, 0, 1)$ hasta $(1, 0, 1)$.

5. Considérese el campo de fuerza $\mathbf{F}(x, y, z) = x\mathbf{i} + y\mathbf{j} + z\mathbf{k}$. Calcular el trabajo realizado al mover una partícula a lo largo de la parábola $y = x^2, z = 0$, desde $x = -1$ a $x = 2$.

6. Sea \mathbf{c} una trayectoria suave.

- (a) Supongamos que \mathbf{F} es perpendicular a $\mathbf{c}'(t)$ en el punto $\mathbf{c}(t)$. Demostrar que

$$\int_{\mathbf{c}} \mathbf{F} \cdot d\mathbf{s} = 0.$$

- (b) Si \mathbf{F} es paralela a $\mathbf{c}'(t)$ en $\mathbf{c}(t)$, demostrar que

$$\int_{\mathbf{c}} \mathbf{F} \cdot d\mathbf{s} = \int_{\mathbf{c}} \|\mathbf{F}\| \, ds.$$

[Por paralela a $\mathbf{c}'(t)$ queremos decir que $\mathbf{F}(\mathbf{c}(t)) = \lambda(t)\mathbf{c}'(t)$, donde $\lambda(t) > 0$.]

7. Supongamos que la trayectoria \mathbf{c} tiene una longitud l y que $\|\mathbf{F}\| \leq M$. Probar que

$$\left| \int_{\mathbf{c}} \mathbf{F} \cdot d\mathbf{s} \right| \leq Ml.$$

8. Calcular $\int_{\mathbf{c}} \mathbf{F} \cdot d\mathbf{s}$, donde $\mathbf{F}(x, y, z) = y\mathbf{i} + 2x\mathbf{j} + y\mathbf{k}$ y la trayectoria \mathbf{c} está definida por $\mathbf{c}(t) = t\mathbf{i} + t^2\mathbf{j} + t^3\mathbf{k}$, $0 \leq t \leq 1$.

9. Calcular

$$\int_{\mathbf{c}} y \, dx + (3y^3 - x) \, dy + z \, dz$$

para cada una de las trayectorias $\mathbf{c}(t) = (t, t^n, 0)$, $0 \leq t \leq 1$, donde $n = 1, 2, 3, \dots$

10. Este ejercicio hace referencia al Ejemplo 12. Sea L un cable muy largo. En la Figura 7.2.14 se muestra una sección transversal del mismo (con el plano perpendicular al cable). Supongamos que este plano es el plano xy . Los experimentos demuestran que \mathbf{H} es tangente a

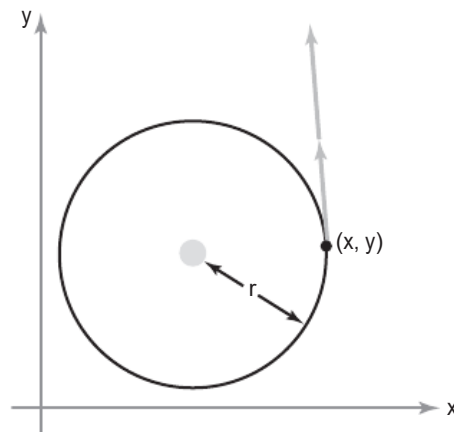


Figura 7.2.14 Una sección transversal de un cable largo y una curva C alrededor del mismo.

toda circunferencia del plano xy cuyo centro se encuentre en el eje de L y que la magnitud de \mathbf{H} es constante en todas esas circunferencias C . Por tanto, $\mathbf{H} = H\mathbf{T}$, donde \mathbf{T} es un vector tangente unitario a C y H es algún escalar. Utilizando esta información, demostrar que $H = I/2\pi r$, donde r es el radio de la circunferencia C e I es la corriente que circula por el cable.

11. La imagen de la trayectoria $t \mapsto (\cos^3 t, \sin^3 t)$, $0 \leq t \leq 2\pi$ en el plano se muestra en la Figura 7.2.15. Calcular la integral del campo vectorial $\mathbf{F}(x, y) = x\mathbf{i} + y\mathbf{j}$ alrededor de esta curva.

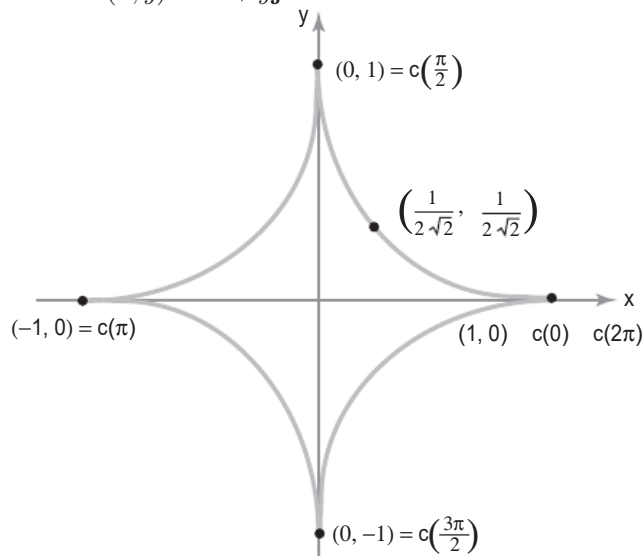


Figura 7.2.15 La hipocicloide $\mathbf{c}(t) = (\cos^3 t, \sin^3 t)$ (Ejercicio 11).

12. Supongamos que \mathbf{c}_1 y \mathbf{c}_2 son dos trayectorias con los mismos extremos y que \mathbf{F} es un campo